

ผลของ เอ็น-(2-โพรพิลเพนทานอล)ยูเรีย ต่อ ตัวรับเอ็นเอ็มดีเอ ชนิด เอ็นอาร์1เอ/เอ็นอาร์2บี  
ที่แสดงออกบนเซลล์ไขกบซีโนปัส เลวิส



นางสาว เพ็ญพิมล ผลทรัพย์

ศูนย์วิทยทรัพยากร  
จุฬาลงกรณ์มหาวิทยาลัย

วิทยานิพนธ์นี้เป็นส่วนหนึ่งของการศึกษาตามหลักสูตรปริญญาเภสัชศาสตรมหาบัณฑิต

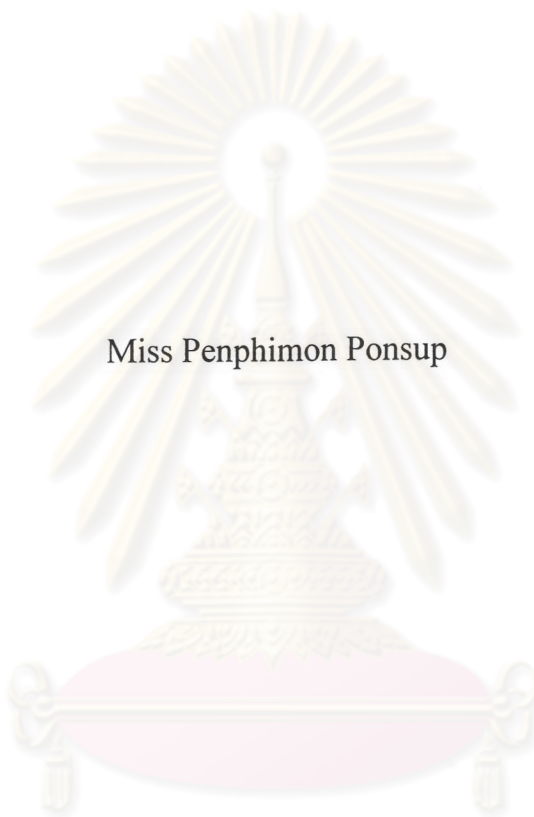
สาขาวิชาสารวิทยา ภาควิชาสารวิทยา  
คณะเภสัชศาสตร์ จุฬาลงกรณ์มหาวิทยาลัย

ปีการศึกษา 2546

ISBN 974-17-3917-6

ลิขสิทธิ์ของจุฬาลงกรณ์มหาวิทยาลัย

EFFECTS OF N-(2-PROPYLPENTANOYL)UREA ON NMDA RECEPTOR SUBTYPE  
NR1A/NR2B EXPRESSED IN *XENOPUS LAEVIS* OOCYTES



Miss Penphimon Ponsup

ศูนย์วิทยทรัพยากร  
จุฬาลงกรณ์มหาวิทยาลัย

A Thesis Submitted in Partial Fulfillment of the Requirements  
for the Degree of Master of Science in Pharmacy in Physiology  
Department of Physiology  
Faculty of Pharmaceutical Sciences  
Chulalongkorn University  
Academic Year 2003  
ISBN 974-17-3917-6



นางสาว เพ็ญพิมล ผลทรัพย์ : ผลของ เอ็น-(2-โพรพิลเพนทาโนอิล)ยูเรีย ต่อ ตัวรับเอ็นเอ็มดีเอ ชนิด เอ็นอาร์1เอ/เอ็นอาร์2บี ที่แสดงออกบนเซลล์ไขกบซีโนปุส เลวีส์. (Effects of N-(2-propylpentanoyl)urea on NMDA receptor subtype NR1A/NR2B expressed in *Xenopus laevis* oocytes) อ. ที่ปรึกษา : รศ.ดร. บุญยงค์ ตันติสิระ, อ. ที่ปรึกษาร่วม : ผศ.ดร. ปัทมา ลีวนิช , 91 หน้า. ISBN 974-17-3917-6.

วัตถุประสงค์หลักของการศึกษาในครั้งนี้ คือการหากลไกในการต้านชักของสารเอ็น-(2-โพรพิลเพนทาโนอิล)ยูเรีย หรือวีฟิยู ซึ่งเป็นอนุพันธ์ใหม่ของวาลโปรเอทที่สังเคราะห์ขึ้นมา โดยจะศึกษาผลของสารดังกล่าวต่อตัวรับเอ็นเอ็มดีเอ ชนิดเอ็นอาร์1เอ/เอ็นอาร์2บี ซึ่งถูกเหนี่ยวนำให้แสดงออกบนผิวเซลล์ไขกบสายพันธุ์ซีโนปุส ด้วยการฉีดซีอาร์เอ็นเอ และใช้เทคนิคการวัดกระแสที่ศักย์ไฟฟ้าคงที่ด้วยขั้วไฟฟ้า 2 ขั้ว

สารวีฟิยูในขนาด 1-300 ไมโครโมลาร์ ไม่มีผลเปลี่ยนแปลงต่อการนำไฟฟ้าของไขกบ สายพันธุ์ซีโนปุส แต่การให้กลูตาเมทขนาด 0.01-300 ไมโครโมลาร์ ร่วมกับกลัยซีนในขนาด 10 ไมโครโมลาร์ จะทำให้เกิดกระแสไหลผ่านเข้าสู่เซลล์ไขกบในปริมาณที่แปรตามความเข้มข้นของกลูตาเมทที่ให้ โดยมีค่าความเข้มข้นที่จะทำให้เกิดการตอบสนองกึ่งหนึ่งของการตอบสนองสูงสุดที่  $2.26 \pm 0.31$  ไมโครโมลาร์ วีฟิยูในขนาด 100-300 ไมโครโมลาร์ สามารถยับยั้งฤทธิ์ของกลูตาเมทที่มีต่อตัวรับเอ็นเอ็มดีเอ ชนิดเอ็นอาร์1เอ/เอ็นอาร์2บี ได้ในเชิงแข่งขันและผันกลับได้ ดังจะเห็นจากการเลื่อนกราฟแสดงการตอบสนองของกลูตาเมทออกไปทางด้านขวาโดยไม่เปลี่ยนแปลงระดับการตอบสนองสูงสุด

ศูนย์วิทยทรัพยากร  
จุฬาลงกรณ์มหาวิทยาลัย

ภาควิชา สรีรวิทยา  
สาขาวิชา สรีรวิทยา  
ปีการศึกษา 2546

ลายมือชื่อนิสิต.....[เพ็ญพิมล ผลทรัพย์]  
ลายมือชื่ออาจารย์ที่ปรึกษา.....[พ.ศ. พ.ว.ร.]  
ลายมือชื่ออาจารย์ที่ปรึกษาร่วม.....[พ.ศ. พ.ว.ร.]

## 4376599633 : MAJOR PHYSIOLOGY

KEY WORD: MECHANISM OF ACTION / N-(2-PROPYLPENTANOYL)UREA / *XENOPUS LAEVIS* OOCYTES / NMDA RECEPTOR / GLUTAMATE

PENPHIMON PONSUP : EFFECTS OF N-(2-PROPYLPENTANOYL)UREA ON NMDA RECEPTOR SUBTYPE NR1A/NR2B EXPRESSED IN *XENOPUS LAEVIS* OOCYTES .

THESIS ADVISOR : ASSOC.PROF. BOONYONG TANTISIRA, Ph.D., THESIS

COADVISOR : ASST.PROF. PATHAMA LEEWANICH, Ph.D., 91 pp. ISBN 974-17-3917-6.

The main goal of this study was to gain insight into the mechanisms underlying the anticonvulsant activity of N-(2-Propylpentanoyl)Urea (VPU), a new synthetic valproate derivative, on NR1A/NR2B NMDA receptors subtype using the two-electrode voltage-clamp technique in *Xenopus laevis* oocytes injected with cRNAs.

Application of VPU (1-300  $\mu$ M) produced no changes on the membrane conductance of *Xenopus* oocytes. However, coapplication of glutamate (0.01 - 300  $\mu$ M) and 10 $\mu$ M glycine induced inward currents with a dose-response curve giving the EC<sub>50</sub> of glutamate at 2.26 $\pm$ 0.31  $\mu$ M. Whereas 1 mM of VPA produced very marginal effect, VPU (100- 300  $\mu$ M) exerted a reversible and competitive inhibition of glutamate response on NR1A/NR2B NMDA receptor characterized by shifting the glutamate concentration curve to the right with no alteration of maximal response. Similar response was elicited by AP5, a selective, competitive NMDA binding site antagonist at the concentration of 10  $\mu$ M. Thus the inhibitory of VPU seems to be comparatively weaker than AP5. Furthermore, based on the results that the inhibitory effects of 100  $\mu$ M VPU on inward currents induced by 3  $\mu$ M glutamate did not alter either when the holding potential was stepwise increased from -150 to + 50mV or when different concentration of glycine, a co-agonist of glutamate, was co-applied, it is apparent that antagonistic effect of VPU on glutamate-induced inward current was neither voltage nor glycine dependent. In addition, it was found that VPU (100-300  $\mu$ M) significantly decrease stimulatory effect of spermine on glutamate response. Taken into consideration that polyamines has been reported to be increased on the face of seizure or ischemia, it is suggestive that inhibitory effect of VPU on NR1A/NR2B NMDA receptors, though rather weak, may, in concert with its effect on GABA<sub>A</sub> receptor and perhaps with some other mechanism that remain to be identified, contribute to its anticonvulsant effect in vivo.

Department    Physiology

Field of study    Physiology

Academic year    2003

Student's signature.....*Penphimon Ponsup*.....

Advisor's signature.....*Boonyong Tantisira*.....

Co-advisor's signature.....*Pathama Leewanich*.....

## ACKNOWLEDGEMENTS

I am deeply indebted to my thesis advisor, Associate Professor Boonyong Tantisira and my thesis co-advisor, Assistant Professor Pathama Leewanich, for their invaluable advice continual guidance and kindness and understanding. I would like to thank Associate Professor Mayuree Tantisira for her kindly advice and encouragement throughout the preparation of this thesis.

I express my sincere thanks to Assistant Professor Rubporn Kittivachara, Head of the Department of Physiology, for her kindness and providing facilities. I also thank the member of committee for their valuable suggestion and discussion. My thank are also to Head of Department of Pharmacology, Faculty of Medicine, Srinakharinwirot University for her helpful allowing me to carry out experimental works in her department.

I am deeply grateful to Professor Kazuei Igarashi and all staff of his laboratory group, Chiba University, Japan, for providing me facilities and valuable guidance in the preparation of mRNA, and Assistant Professor Chamnan Patarapanich, Department of Pharmaceutical Chemistry, Faculty of Pharmaceutical Sciences, Chulalongkorn University for supplying the test substance (N-(2-PROPYLPENTANOYL)UREA).

Similarly, I would like to thank all staff members of the Department of Physiology, Faculty of Pharmaceutical Sciences, Chulalongkorn University and Department of Pharmacology, Faculty of Medicine, Srinakharinwirot University for their helps as well as to all experimental animals for their sacrifice which bring me to succeed in my studies.

Finally, I wish to express my gratitude to my parents and my sister for their love and understanding that enabled me to have the energy and inspiration to finish this work.

## CONTENTS

	Page
Abstracts (Thai).....	iv
Abstracts (English).....	v
Acknowledgements.....	vi
Contents.....	vii
Lists of Tables.....	viii
Lists of Figures.....	ix
List of Abbreviation.....	xi
 Chapter	
I Introduction.....	1
1. Epilepsy.....	1
2. Mechanism of epileptogenesis.....	3
3. NMDA receptors.....	10
4. Treatments of epilepsy.....	28
5. The developments of antiepileptic drugs.....	35
6. Xenopus oocytes expression system.....	36
7. Valproic acid.....	40
8. N-(2-propylpentanoyl)urea.....	44
II Materials and Methods	
1. Materials.....	46
2. Methods.....	48
III Results	
1. Characterization of glutamate-induced currents recorded from oocytes injected with NR1A/NR2B mRNA.....	53
2. Effects of VPU and VPA on dose-response curves of glutamate induced currents.....	53
3. Effects of various concentration of VPU and AP5 on glutamate induced currents.....	54
4. Inhibitory effects of VPU in stepping holding potential.....	54
5. Effects of VPU on glutamate-induced currents in the present of various concentration of glycine.....	55
6. Effects of VPU on the stimulatory modulation of spermine.....	55
IV Discussion and Conclusions.....	71
 References.....	76
Vitae.....	91

## LIST OF TABLES

Table	Page
1.1 Proposed pharmacological targets of antiepileptic drugs....	30
3.1 The mean $EC_{50} \pm S.E.M.$ and Hill coefficient of glutamate and glutamate with AP5, VPA and VPU calculated from log concentration response curve.....	63



ศูนย์วิทยทรัพยากร  
จุฬาลงกรณ์มหาวิทยาลัย



## LIST OF FIGURES

Figures	Page
1.1 NMDA receptor model showing potential sites for drug action.....	13
1.2 Subunit-specific modulation of NMDA receptors by polyamines.....	24
1.3 Two electrode voltage clamp and its applicatin of xenopus oocytes.....	38
1.4 Molecular structure of glutamate, NMDA, AP5, spermine, valproic acid and VPU.....	42
3.1 Illustration of currents evoked by 0.01,0.1, 0.3, 1, 3, 10, 30, 100 and 300 $\mu\text{M}$ glutamate plus 10 $\mu\text{M}$ glycine on NR1A/NR2B receptors expressed in <i>Xenopus</i> oocytes injected with mRNA (holding potential: $V_h = -70 \text{ mV}$ ).....	56
3.2 Glutamate log concentration-response relationship.....	57
3.3 Glutamate log concentration responses curves demonstrating the inhibition effect of 10 $\mu\text{M}$ AP5.....	58
3.4 Glutamate concentration-response curves in the presence or absence of 10 $\mu\text{M}$ VPU. Each point is the mean $\pm$ S.E.M. of the current response of 4-6 oocytes, expressed as percentage of the maximal response. VPU produced no changes in either maximum response or Hill slope.( $P > 0.05$ )......	59
3.5 Glutamate log concentration-response curves demonstrating the inhibition of the NMDA receptor currents by 100 $\mu\text{M}$ VPU.....	60
3.6 Glutamate log concentration-response curves demonstrating the inhibition of the NMDA receptor currents by 300 $\mu\text{M}$ VPU. ....	61
3.7 Summary of glutamate concentration-response curves demonstrating the inhibition of the NMDA receptor currents by 10 $\mu\text{M}$ , 100 $\mu\text{M}$ or 300 $\mu\text{M}$ VPU.....	62
3.8 Glutamate log concentration responses curves in the presence of 1 mM VPA.....	64

## LIST OF FIGURES (continued)

Figures	Page
3.9 Inhibitory effects by VPU and AP5 on the glutamate-induced currents.....	65
3.10 I-V relationships determined from NR1A/NR2B mRNA injected oocytes before and after application of 100 $\mu$ M VPU. Each point is the mean $\pm$ S.E.M. of the current response of 2-4 oocytes, expressed as percentage of the maximal current responses.....	66
3.11 Log concentration-response relationship of glutamate (3 $\mu$ M) in the presence of various concentration of glycine. Each point is the mean $\pm$ S.E.M. of the current response of 4-6 oocytes, expressed as percentage of the maximal response.....	67
3.12 Concentration responses curves for glycine in the absence and presence of 100 $\mu$ M VPU. ....	68
3.13 Log concentration-response relationship of glutamate (3 $\mu$ M) in the presence of various concentration of glycine, and in the presence or absence of 10 $\mu$ M VPU. Each point is the mean $\pm$ S.E.M. of the current response of 4-6 oocytes, expressed as percentage of the maximal response. VPU produced no changes in either maximum response or Hill slope.( $P > 0.05$ ).....	69
3.14 Inhibition effects of 100 $\mu$ M VPU on glutamate log concentration-response curves in the absence and presence of 100 $\mu$ M spermine. Each point is the mean $\pm$ S.E.M. of the current response of 4-5 oocytes, expressed as percentage of the control response in the absence and presence of spermine, respectively.....	70

## LIST OF ABBREVIATIONS

$\mu$	=	Micro
$\mu\text{M}$	=	Micromolar
%	=	Percent
$\text{K}^+$	=	Potassium ion
$\text{Ca}^{2+}$	=	calcium ion
$\text{Mg}^{2+}$	=	Magnesium ion
$\text{K}^+$	=	Potassium ion
$\text{Cl}^-$	=	Chloride ion
$\text{Na}^+$	=	Sodium ion
$\text{Zn}^{2+}$	=	Zinc ion
AEDs	=	Antiepileptic drugs
AMPA	=	$\alpha$ -amino-3-hydroxy-5-methyl- isoxazole-4-propionic acid
CNS	=	Central Nervous System
DNA	=	Deoxyribonucleic acid
$\text{ED}_{50}$	=	Median effective dose
et al.	=	et alii (and other)
GABA	=	Gamma aminobutyric acid
GluRs	=	Glutamate receptors
$\text{IC}_{50}$	=	Median inhibitory concentration
M	=	Molar
$\text{M}\Omega$	=	Megaohm
MBS	=	Modified Barth's Solution
mg	=	Milligram
ml	=	Milliliter
nl	=	Nanoliter
ng	=	Nanogram
NMDA	=	N-methyl-D-aspartate
S.E.M.	=	Standard error of the mean